

18. О. В. Ачаков, Р. И. Солоухин, Н. А. Фомин. Квантовая электроника, 1978, 5, 11, 2337.
19. А. В. Крауклис, В. Н. Крошко и др. ФГВ, 1976, 12, 5, 792.
20. N. A. Fomin, R. I. Soloukhin. Rev. de Phys. Appl., 1979, 14, 2, 421.

ВЛИЯНИЕ ПАРАМЕТРОВ ТОРМОЖЕНИЯ, РАЗМЕРОВ И КОНТУРА СОПЛА НА КОЭФФИЦИЕНТ УСИЛЕНИЯ В ГДЛ НА ПРОДУКТАХ СГОРАНИЯ ЖИДКИХ УГЛЕВОДОРОДНЫХ ТОПЛИВ

М. Г. Кталхерман, В. М. Мальков, А. Ю. Шевырин, Г. Ю. Шейтельман
(Новосибирск)

В настоящее время основным способом теплового возбуждения CO_2 -ГДЛ является горение. Возможность получения с помощью горения больших расходов лазерноактивной среды обеспечивает получение высоких мощностей генерации в непрерывном режиме.

Одна из проблем, возникающих при практической реализации ГДЛ на продуктах горения, связана с выбором реагентов. В первых лабораторных устройствах такого типа [1], а также в крупных установках с уровнем мощности в десятки киловатт [2] в качестве топлива использовались окись углерода или дициан (с небольшим количеством CH_4 или H_2), а окислителем служил кислород или воздух. Смесь продуктов сгорания разбавлялась азотом для получения желаемого уровня температур. И хотя энергетические характеристики таких лазеров можно улучшить путем оптимизации параметров и использования в качестве окислителя закиси азота [3, 4], они обладают существенными недостатками: окись углерода и дициан токсичны, а топливная система ввиду малости удельного веса газа — весьма громоздка. Последнее справедливо и при работе ГДЛ на других газообразных топливах (C_2H_2 , C_3H_8 , C_2H_4 и т. д.), дающих приемлемый состав продуктов сгорания. Поэтому внимание исследователей привлекает возможность использования простых и доступных жидкких углеводородных топлив. В работе [5], посвященной окислителям, топливам и газогенераторам ГДЛ, отмечались компактность систем на жидкокомпримесированном топливе, простота подачи и регулировки расхода.

В работах [3, 4, 6—8] проведен численный анализ характеристик газодинамического лазера, работающего на продуктах сгорания жидкких углеводородов — бензола и керосина. Выбор этих топлив не случаен: при сжигании бензола содержание водяных паров в продуктах сгорания не слишком сильно отличается от оптимального даже при высоких температурах (~ 2000 K), а керосин — дешевое и доступное топливо.

В [3] вычислены коэффициенты усиления α и максимальная запасенная энергия E на срезе сопла ГДЛ, работающего на продуктах горения бензоло-кислородной смеси, разбавленных азотом. Максимальные значения α и E ($\alpha = 1 \text{ м}^{-1}$, $E = 24 \text{ кВт}/(\text{кг}/\text{с})$) получены в сопле с высотой критического сечения $h^* = 0,3$ мм и степенью расширения $A/A^* = 50$ при давлении и температуре в форкамере, равных соответственно $P_\phi = 37,5$ атм, $T_\phi = 1800$ K. Если в качестве окислителя использовать N_2O , концентрация паров воды в смеси уменьшается и появляется возможность увеличить температуру торможения, что приводит к росту запасаемой колебательной энергии. Расчеты [3] показали, что для этого же сопла $E \approx 40 \text{ кВт}/(\text{кг}/\text{с})$ при $T_\phi = 2100$ K.

В [4] решена оптимизационная задача для ГДЛ на продуктах сгорания бензоловоздушной смеси. Максимальное значение E определялось с наложением ряда ограничений на другие параметры. В результате получены оптимальные значения основных характеристик лазера: $P_{\phi} = 30,1$ атм, $T_{\phi} = 1955$ К, $h^* = 0,15$ мм, $A/A^* = 72$, $\alpha = 1,37$ м⁻¹, $E = 40,3$ кВт/(кг/с).

Уменьшение содержания водяных паров может быть достигнуто путем предварительного нагрева воздуха. В [7] рассмотрен случай, когда начальная температура воздуха равнялась 1000 К. Применение бензола в этих условиях очень эффективно. При $T_{\phi} = 2000$ К и $P_{\phi} = 10$ атм на выходе из сопла с $h^* = 0,2$ мм получены значения $E = 55$ кВт/(кг/с) при $A/A^* = 60$ и $E = 45$ кВт/(кг/с) при $A/A^* = 20$.

Наиболее подробные исследования характеристик лазера, работающего на углеводородном топливе (бензол, керосин), выполнено в [8]. В расчетах предполагалось, что воздух сжимается до высокого давления и поступает в камеру сгорания подогретым за счет сжатия. Топливо сжигается при таком избытке воздуха, чтобы получить требуемую температуру в форкамере. Величина T_{ϕ} варьировалась в пределах 1600—2400 К при $p_{\phi} = 16 \div 49$ атм. Результаты вычислений для керосина и бензола различались незначительно. В обоих случаях получены высокие значения максимального коэффициента усиления и максимальной запасенной лазерной энергии. Для сопла с $h^* = 0,2$ мм и $A/A^* = 50$ $\alpha_{\max} = 0,75$ м⁻¹ и $E_{\max} \approx 44$ кВт/(кг/с).

Результаты рассмотренных выше расчетов демонстрируют большие потенциальные возможности газодинамического лазера на обычном жидкому углеводородному топливу. Об этом же свидетельствуют и экспериментальные данные о коэффициенте усиления в ГДЛ на продуктах сгорания бензола, бензина и керосина [9, 10]. Настоящая работа продолжает начатые в [10] исследования и посвящена изучению влияния размеров и формы контура сопла на инверсные свойства среды лазера. Особое внимание уделялось аэродинамике сопел и воздействию реальной структуры потока на коэффициент усиления. Проведенные эксперименты дают хорошую основу для проверки применимости одномерных расчетов в широком диапазоне изменения основных параметров, что и было выполнено.

Установка и методика измерений

Для проведения экспериментов использовался непрерывный ГДЛ, работавший на продуктах сгорания жидких и газообразных топлив. В качестве окислителя применялся воздух. Схема установки и ее основные элементы описаны в [10, 11]. В дальнейшем были модернизированы отдельные узлы и часть опытов проводилась на новом варианте установки. Изменения коснулись в основном камеры сгорания: диаметр жаровой трубы уменьшен, а относительная длина L/D увеличена. Стабилизация пламени осуществлялась с помощью рециркуляционной зоны, образованной при внезапном изменении сечения канала. По оси камеры поступал холодный воздух, а в зону обратных токов через мелкие отверстия вдувались подогретая обогащенная топливовоздушная смесь. Такая конструкция камеры сгорания обеспечила устойчивое горение в широком диапазоне избытков воздуха и высокую степень однородности температурного поля без применения выравнивающих решеток.

За камерой сгорания следовал конический переходной участок, охлаждаемый водой. Сменное рабочее сопло из меди зажималось между фланцами рабочей части и переходника и охлаждалось водой. Рабочая часть имела ширину 150 и длину 300 мм. Высота канала немного изменилась по длине, поскольку для компенсации пограничного слоя более длинные стенки устанавливались под углом 1° к оси. В боковых стен-

ках имелись отверстия, куда вставлялись державки с окнами из фотостого бария для проведения измерений коэффициентов усиления. К рабочему участку примыкал тракт, состоявший из сверхзвукового диффузора с нерегулируемым горлом, переходной секции, эжектора и дозвукового диффузора. Специальных мер для уменьшения сопротивления выхлопного тракта не предпринималось, поэтому расчетный режим течения в рабочей части при неработающем эжекторе наступал, начиная с $p_{\Phi} = 33$ атм (сопло с $h^* = 0,7$ мм, $A/A^* = 28,6$). Включение эжектора позволило понизить рабочее давление до 13 атм.

Как и в [9, 10], жидкое топливо сжигалось по схеме с предварительным испарением. Перед поступлением в горелочное устройство оно впрыскивалось в горячий поток. Небольшое количество воздуха, необходимое для этого, подогревалось в накопителе тепла (плотно уложенные в канале медные стержни), разогреваемом до опыта. Температура воздуха за накопителем поддерживалась на уровне 250—150°C. В процессе проведения эксперимента регистрировались расходы воздуха и топлива, давление в форкамере, распределение давления вдоль рабочей части, температура воздуха за накопителем тепла, распределение температуры продуктов сгорания в сечении переходника в непосредственной близости от сопла и температура рабочей части.

Коэффициент усиления измерялся с помощью стабилизированного по мощности зондирующего лазера. На германиевой пластинке луч лазера расщеплялся. Один из них проходил через рабочую часть, а другой использовался в качестве опорного. Перед опытом сигналы с двух приемников излучения (Ge—Au, $T = 77$ К) уравнивались, а в процессе эксперимента записывалась их разность, обусловленная прохождением луча через активную зону. По сравнению с измерениями, описанными в [9—11], схема дополнена монохроматором ИКМ-731, с помощью которого до и после опыта регистрировали переход, на котором работал лазер. Значения коэффициентов усиления приводились к их величине на переходе Р20 по формуле

$$\frac{\alpha_{P20}}{\alpha} = \frac{2 \cdot 19 + 1}{2 \cdot j_m + 1} \cdot \frac{\exp[-19 \cdot 20 \cdot \Theta_{001}/T]}{\exp[-j_m(j_m + 1) \Theta_{001}/T]},$$

полученной из обычного выражения для коэффициентов усиления [1] при следующих допущениях: $\Theta_{100} = \Theta_{001}$, $\Theta_1/T_1 \gg 2(j_m + 1)\Theta_{001}/T$. Здесь α_{P20} — коэффициент усиления на переходе Р20, остальные обозначения общеприняты. Поступательная температура потока T бралась из расчетов течения релаксирующей смеси газов в сопле.

Метод расчета

Для проведения расчетного анализа основных характеристик потока при колебательно-неравновесном расширении в сопле составлена программа применительно к смесям, содержащим CO_2 , N_2 , O_2 , H_2O , HCl . Течение предполагалось стационарным и одномерным. Учет колебательного энергообмена проводился в рамках следующих допущений: колебания, отвечающие каждой моде, являются гармоническими; среди молекул, относящихся к одному типу колебаний, устанавливается Больцмановское распределение заселенности уровней с колебательной температурой T_i , в связи с резонансом Ферми симметричная и деформационная моды молекулы CO_2 имеют одинаковые колебательные температуры; все типы колебаний молекулы воды находятся в равновесии с поступательным движением; вращательная и поступательная температуры совпадают; состав смеси не меняется по длине.

Релаксационные уравнения для определения среднего числа квантов, приходящихся на одну молекулу, записывались в соответствии с работой [12]. Учитываемые в расчетах процессы колебательного обмена

Таблица 1

Процесс	M	Q^{-1} и τ , атм·с	Лите-ратура
$\text{CO}_2(0^{11}0) + M \rightarrow \text{CO}_2(00^00) + M$	CO_2 N_2 HCl O_2 H_2O	$\lg \tau = 17,42x - 7,85$ $\lg \tau = 15,55x - 8,06$ $- 15,5x - 6,12$ $15,55x - 8,06$ $\tau = 3 \cdot 10^{-9}$	[22] [22] [23]
$\text{N}_2(1) + M \rightarrow \text{N}_2 + M$	CO_2 N_2 HCl H_2O O_2	$\lg \tau = 104x - 11,2$ $95,5x - 10,76$ $56,2x - 10,254$ $36,8x - 9,812$ $97,8x + 1,3$	[22] [23]
$\text{HCl}(1) + M \rightarrow \text{HCl} + M$	CO_2 N_2 HCl H_2O O_2	$\lg \tau = 27,8x - 8,88$ $27,8x - 7,23$ $\tau = 1,6 \cdot 10^{-6}, T \leq 733;$ $\tau = 4,21 \cdot 10^{-7} \exp [64(x - 0,09)], T > 733$ $\tau = 3 \cdot 10^{-9}, T < 300$ $\lg \tau = -30,4x - 3,96, 300 < T < 1000$ $\tau = 10^{-7}, T > 1000$ $\lg \tau = 27,8x - 7,23$	[22] [22]
$\text{O}_2(1) + M \rightarrow \text{O}_2 + M$	O_2 CO_2 N_2 H_2O	$\frac{1}{\tau} = \frac{0,123 \cdot \exp (8,5 - 157x)}{T}$ $\tau = \frac{1}{600 \cdot \tau_{\text{O}_2}}$ $\lg \tau = 57,4x - 9,7$ $\frac{1}{\tau} = \frac{3,5 \cdot 10^7}{T}$	[12]
$\text{CO}_2(00^01) + M(0) \rightarrow \text{CO}_2(00^00) + M(1)$	N_2 HCl	$\lg Q = 7,42 - 1,65 \cdot 10^{-3} \cdot T + 5,7 \cdot 10^{-7} \cdot T^2$ $Q = 1,98 \cdot 10^{10}/T$	[22]
$\text{CO}_2(00^00) + \text{O}_2(1) \rightarrow \text{CO}_2(020) + \text{O}_2(0)$		$Q = 2,5 \cdot 10^7$	[12]
$\text{HCl}(1) + \text{N}_2(0) \rightarrow \text{HCl}(0) + \text{N}_2(1)$		$Q = 1,14 \cdot 10^7 / \sqrt{T}$	[22]
$M(1) + O_2(0) \rightarrow M(0) + O_2(1)$	N_2 HCl	$Q = \frac{4,4 \cdot 10^{(11-48,7 \cdot x)}}{T}$ $\lg \tau = 56,2x - 10,25$	[23]
$\text{CO}_2(00^01) + M \rightleftharpoons \begin{cases} \text{CO}_2(11^1\text{O}) + M \\ \text{CO}_2(030) + M \end{cases}$	CO_2 N_2 HCl H_2O	$\ln Q = 4,344 + 218,23 \cdot x - 168,77 \cdot x^2 +$ $+ 3909,3 \cdot x^2$ $\ln Q = -1,657 + 424,03 \cdot x - 3852,7 \cdot x^2 +$ $+ 10,672,2 \cdot x^3$ $Q = 3,4 \cdot 10^6$ $\ln Q = 5,62 + 11,2 \cdot x$ $Q_{23}^{\text{O}_2} = Q_{23}^{\text{N}_2}$	[22] [23]

Примечание. $x = T^{-1/3}$.

энергией и скорости соответствующих реакций приведены в табл. 1. Расчет неравновесного течения в сопле начинался с координаты, где температура приблизительно на 1% отличалась от ее значения в критическом сечении. До этой координаты течение считалось равновесным. В результате вычислений в выходном сечении сопла определялись газодинамические параметры, колебательные температуры, а также коэффициент усиления слабого сигнала на переходе Р20 и запасенная колебательная энергия (с учетом неиспользуемой части, обусловленной населенностью нижнего лазерного уровня).

Результаты и их обсуждение

Общие замечания. Условия проведения экспериментов и основные размеры применявшихся сопел приведены в табл. 2. Температура торможения изменялась в пределах $T_{\phi} = 1000 - 1700$ К, а $P_{\phi} = 13 - 35$ атм. В качестве топлива использовались бензол, бензин, керосин, смесь бензола с четыреххлористым углеродом и смесь окиси углерода с водородом. Окислителем во всех экспериментах служил воздух.

Исследовано 8 сопел, различавшихся высотой критического сечения ($h^* = 0,34 \div 0,41$ и $0,7$ мм), высотой выходного сечения ($H = 10$ и 20 мм), степенью расширения сопла ($A/A^* = 14,3, 28,6$ и 50) и начальным полууглом излома контура ($\Theta_n = 37 \div 42$ и 25°). До- и трансзвуковой профиль всех сопел был одинаков: клиновидный вход с полууглом в 60° сопрягался радиусом $0,5$ мм с прямолинейным участком длиной $\sim 0,2$ мм, за которым следовала угловая точка.

Контур сверхзвуковой части сопел I—V, VIII выполнен по дуге окружности (радиусные сопла), так что на выходе стенки направлены

Таблица 2

Номер сопла	Размеры сопла						Условия опытов				Нумерация серий рис. 2
	h^* , мм	H , мм	θ_n , град	R , мм	L_c , мм	L , мм	топливо	p_{ϕ} , атм	$p_{\phi} \cdot h^*/(\operatorname{tg} \theta_n)$, атм·см		
I	0,7	20	42	37,5	25	37	$\text{CO} + \text{H}_2, \text{C}_6\text{H}_6, \text{C}_6\text{H}_6 + \text{CCl}_4$, керосин, бензин	16	1,25	1	
								21	1,65	2	
								31	2,4	3	
II	0,7	20	25	106,5	45	50	Керосин	21	3,1	4	
								31	4,6	5	
III	0,38	20	25	106,5	45	50	»	21	1,8	6	
								31	2,7	7	
IV	0,7	10	25	53,2	22,5	20	»	21	3,1	8	
								31	4,6	9	
V	0,35	10	25	53,2	22,5	20	»	21	1,5	10	
								31	2,2	11	
VI	0,7	20	41,5	—	56	56	Керосин, C_6H_6	13	1,03	12	
								21	1,67	13	
VII	0,7	20	—	—	56	56	Керосин	35	2,8	14	
VIII	0,38	10	37	25	15	23	»	20	—	15	
								31	1,6	16	

П р и м е ч а н и е. R — радиус контура сверхзвуковой части сопла, L_c — длина сопла, L — расстояние от горла сопла до точки измерения.

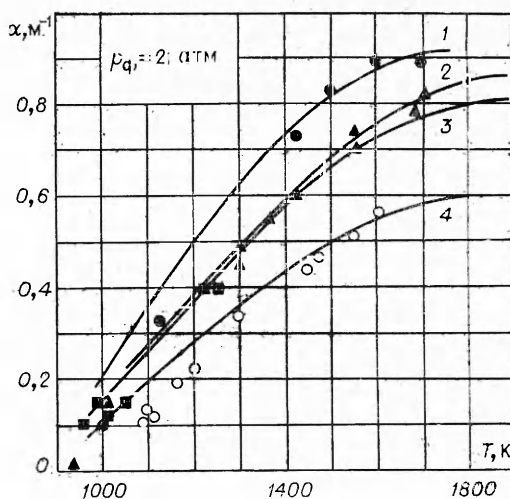
Рис. 1. Эффективность различных топлив; сопло I, $p_{\Phi} = 21$ атм.
 1 — $\text{CO} + \text{H}_2$; 2 — C_6H_6 ; 3 — $\text{C}_6\text{H}_6 + \text{CCl}_4$ (1 : 1 по массе); 4 — керосин. Линии — расчет.

параллельно оси. Такие сопла представляют интерес ввиду их технологичности. Профиль VI взят из численных расчетов (методом характеристик) сопел с изломом контура [13]. Последний наиболее часто применялся в ГДЛ. Однако наличие угловой точки, как показали расчеты [14], может приводить к появлению области торможения в сверхзвуковом потоке, способствующей отрыву пограничного слоя и появлению ударных волн. Существование таких областей может быть обусловлено как самим характером течения идеального газа за угловой точкой, так и реальными свойствами потока, например вязкостью и неравновесным протеканием физико-химических процессов в газе [15]. В расчетах [14] указывалось также, что скругление острой кромки радиусом $r \sim 0,5 h^*$ проводит к исчезновению области торможения. Принимая во внимание эти соображения, профиль сопла VII был выполнен полностью идентичным соплу VI, но острая кромка скруглена ($r \sim 0,5$ мм).

Сравнение эффективности применения различных топлив. Как видно из табл. 2, в экспериментах с соплом I использовались разнообразные топлива. Результаты этих опытов позволяют судить, насколько эффективны исследованные топлива для создания лазерноактивной среды. На рис. 1 показана зависимость коэффициентов усиления от температуры. Измерения проводились несколько дальше выходного сечения сопла на оси канала (расстояние от горла сопла 37 мм).

Помимо данных для жидкого топлива, приведена также зависимость $\alpha(T_{\Phi})$, полученная ранее в опытах с газообразной смесью $\text{CO} + \text{H}_2$ [11], причем на рис. 1 нанесены точки, соответствующие оптимальному содержанию H_2O ($\sim 2\%$). Для таких составов измерения дали самые большие значения коэффициентов усиления ($\alpha_{\max} \sim 0,9 \text{ м}^{-1}$ при $T_{\Phi} = 1700 \text{ K}$). Несколько ниже они в случае бензолового топлива: $\alpha_{\max} = 0,82 \text{ м}^{-1}$ при $T_{\Phi} = 1700 \text{ K}$. В опытах с керосином также зафиксированы достаточно большие значения коэффициентов усиления. Данные для бензина не нанесены, поскольку они полностью совпадают с показанными на рис. 1, 4 [см. 11]. Это объясняется тем, что состав продуктов сгорания керосина и бензина при равном избытке воздуха практически одинаков.

Для более ясной интерпретации результатов, показанных на рис. 1, в табл. 3 приведены составы продуктов сгорания в исследованном диапазоне температур. Видно, что при низких температурах содержание H_2O и CO_2 при горении оптимальной смеси $\text{CO} + \text{H}_2$ и C_6H_6 приблизительно одинаково, а при $T = 1600 \text{ K}$ концентрация H_2O в продуктах сгорания бензола вдвое выше, чем в случае газообразного топлива, но тем не менее оно не далеко от оптимального. В свою очередь, концентрация CO_2 при горении газообразного топлива при больших T значительно превышает оптимальное значение. Эти два фактора объясняют, почему и при достаточно высоких температурах различие коэффициентов усиления, полученных в опытах с C_6H_6 и $\text{CO} + \text{H}_2$, незначительно.



Топливо	$T=1000$ К				$T=1200$ К			
	H_2O	CO_2	O_2	N_2	H_2O	CO_2	O_2	N_2
Керосин	0,04	0,045	0,15	0,765	0,05	0,055	0,13	0,765
C_6H_6	0,02	0,04	0,155	0,785	0,027	0,054	0,135	0,784
$C_6H_6+CCl_4$ (1:1)	0,02	0,05	0,13	0,79	0,025	0,065	0,11	0,784
$CO+H_2$	0,02	0,06	0,156	0,764	0,02	0,102	0,14	0,738

П р и м е ч а н и е. Содержание HCl в продуктах сгорания смеси $C_6H_6 + CCl_4$: 0,01 ($T =$

Смесь, образующаяся при сжигании керосина, содержит водяных паров почти больше, чем в продуктах горения бензола, а концентрация CO_2 и других компонентов практически та же (см. табл. 3). Более интенсивная релаксация верхнего лазерного уровня CO_2 и уровня $v=1$ молекул N_2 при столкновении с молекулами H_2O обусловливает ухудшение инверсных свойств продуктов сгорания керосиновоздушных смесей.

Добавление к бензолу четыреххлористого углерода приводит к появлению в продуктах сгорания, наряду с обычными компонентами (CO_2 , H_2O , N_2 , O_2), молекул HCl . Роль галогеноводородов в CO_2 -ГДЛ наиболее полно рассмотрена в работе [16]. В ней, в частности, отмечалось, что, поскольку молекулы галогеноводородов дипольные, их собственная колебательная релаксация происходит быстро. Молекулы галогеноводородов оказывают также большое влияние на скорость релаксации верхнего и нижнего лазерного уровней CO_2 . Расчеты [16] показали, что содержание HCl в смесях CO_2-N_2-HCl может быть значительным без заметного ухудшения инверсных свойств среды ГДЛ. Результаты экспериментальных исследований влияния HCl содержатся в [17]. В настоящей работе роль добавки HCl изучалась в ином диапазоне параметров и составов смеси.

Как видно из табл. 3, содержание HCl в продуктах сгорания изменялось от 1 до 3,3%, а в остальном состав смеси был почти таким же, как и в опытах с чистым бензolem. Такое количество примеси хлористого водорода практически не повлияло на ход зависимости $\alpha(T)$ (см. рис. 1, 2, 3). Полученные результаты находятся в соответствии с расчетами [16], где показано, что в смесях $CO_2-N_2-H_2O-HCl$ наличие 1–3% паров воды не приводит к большому смещению от оптимальных условий даже в том случае, когда концентрация HCl существенно выше, чем это имело место в данных экспериментах.

Определенный интерес представляет сравнение измерений в опытах с керосино- и бензоловоздушными смесями с результатами расчетов для этих же смесей [8] в условиях предварительного подогрева воздуха за счет сжатия в компрессоре. Отметим, что размеры сопла в [8] ($h^* = 0,2$ мм, $A/A^* = 50$) отличались от использованного в наших экспериментах ($h^* = 0,7$ мм, $A/A^* = 28,6$). Измеренные коэффициенты усиления для системы с бензоловым топливом оказались несколько выше рассчитанного в [8] при одинаковых параметрах торможения ($T_\phi = 1600$ К, $\alpha_{\text{эксп}} = 0,82$, $\alpha_{\text{расч}} = 0,68 \text{ м}^{-1}$). Для системы с керосином предварительный подогрев воздуха, приводя к снижению в продуктах сгорания концентрации H_2O и CO_2 , делает состав смеси ближе к оптимальному. Этим, в частности, объясняется увеличение вычисленных коэффициентов усиления по сравнению с опытными данными ($\alpha_{\text{эксп}} = 0,55$, $\alpha_{\text{расч}} = 0,65 \text{ м}^{-1}$ при $T = 1600$ К) и небольшое отличие расчетных результатов во всем диапазоне параметров торможения для керосино- и бензоловоздушных смесей. Отметим также, что выполненные в настоящей рабо-

Таблица 3

$T=1400 \text{ K}$				$T=1600 \text{ K}$			
H_2O	CO_2	O_2	N_2	H_2O	CO_2	O_2	N_2
0,062	0,068	0,11	0,76	0,075	0,080	0,09	0,755
0,035	0,07	0,118	0,77	0,042	0,084	0,1	0,774
0,03	0,083	0,088	0,774	0,035	0,1	0,066	0,766
0,02	0,135	0,12	0,725	0,02	0,17	0,103	0,707

= 1000 K, 0,018 (1200 K), 0,025 (1400 K), 0,033 (1600 K).

те расчеты дают максимальные значения коэффициентов усиления для сопла I 0,6 и 0,85 м⁻¹ (см. рис. 1) по сравнению с $\alpha_{\max} = 0,78$ и 0,76 м⁻¹ из расчетов [8] в случае использования керосина и бензола соответственно. Опыты с соплом VI также проводились с двумя топливами (см. табл. 2). Их результаты идентичны показанным на рис. 1.

Зависимость коэффициентов усиления от параметров торможения. Влияние температуры и давления для всех исследованных сопел иллюстрирует рис. 2. В табл. 2 дано обозначение точек, соответствующих режимам опытов. Штриховые линии проведены по экспериментальным точкам, сплошные линии — результаты расчетов. Цифрами указано соответствующее давление в форкамере p_Φ . Расчет удовлетворительно описывает экспериментальные данные, особенно если учесть, что опыты выполнены в широком диапазоне изменения геометрии сопла (см. табл. 2) и параметров торможения. Как правило, в области низких температур измеренные значения α меньше расчетных, а при $T_\Phi = 1300—1600 \text{ K}$ получено приемлемое согласие. В одной серии с соплом V и в ряде опытов с соплом IV большая часть точек лежит выше расчетной линии. По всей видимости, некоторое несоответствие эксперимента и расчетов объясняется неопределенностью констант скоростей релаксационных процессов, а также точностью измерений. В целом же можно констатировать пригодность одномерных расчетов для вычисления коэффициентов усиления на оси выходного сечения сопла (см. рис. 1, 2) в диапазоне температур, характерных для современных ГДЛ. (Ниже будет обсуждаться вопрос о степени достоверности результатов одномерной методики во всем поле течения в резонаторе.)

Ход зависимостей $\alpha(T_\Phi)$ отражает влияние температуры торможения и соответствующего ей состава продуктов сгорания. Максимум коэффициентов усиления в исследованном диапазоне параметров находится в диапазоне $T_{\Phi\max} = 1500—1900$. Низшее значение $T_{\Phi\max}$ наблюдается в опытах с соплом IV, наивысшее — с соплом VIII. Увеличение степени расширения сопла и начального угла контура, а также уменьшение высоты критического сечения смешает $T_{\Phi\max}$ в область больших значений (см. рис. 2).

Во всех экспериментах зафиксировано падение коэффициентов усиления с ростом давления. Контур спектральной линии в условиях данной работы в основном обусловлен соударением, поэтому увеличение p_Φ приводит к ускорению релаксации верхнего лазерного уровня CO_2 и уровня $v = 1 \text{ N}_2$. Уменьшение давления сопровождается возрастанием $T_{\Phi\max}$ и α_{\max} для данного сопла также увеличивается. Наиболее четко это видно на рис. 2, VI, где приведены результаты для наиболее широкого диапазона p_Φ .

Отсюда следует, что оптимальным условиям работы ГДЛ соответствуют более низкие давления. Минимальная величина рабочего давления определяется эффективностью его восстановления в тракте установки и зависит в основном от числа Маха на выходе из сопла. Как

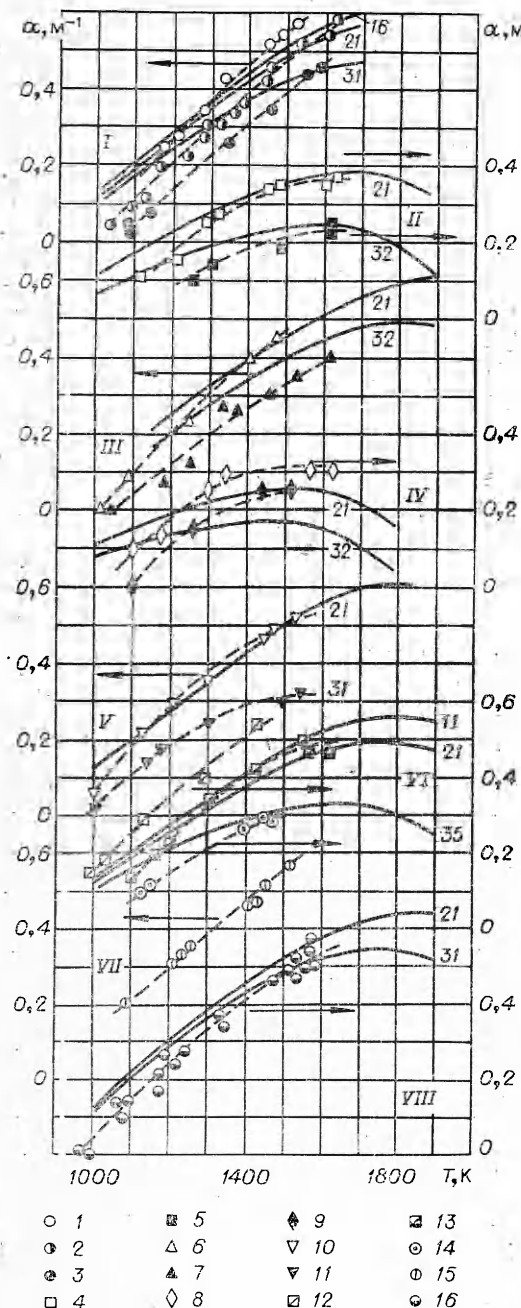


Рис. 2. Зависимость коэффициентов усиления от температуры. Топливо — керосин. I—VIII — номера сопел (см. табл. 2).

указано в [18], получить коэффициент восстановления полного давления выше, чем в прямом скачке при числе M рабочей части, чрезвычайно трудно. Это означает, что рабочее давление, например, для сопла с $A/A^{**} = 28,6$ будет не менее 19 атм.

Влияние основных размеров сопла на коэффициент усиления. Результаты, приведенные на рис. 2, позволяют проанализировать роль основных размеров сопла: h^* , A/A^* , θ_n . Для большей наглядности на рис. 3 сопоставлены зависимости $\alpha(T_\Phi)$ для сопел, различающихся только одним из указанных параметров, в то время как остальные одинаковы или близки между собой.

Уменьшение h^* и увеличение θ_n способствует более быстрому охлаждению смеси, что ведет к уменьшению скорости релаксационных процессов. В результате действие каждого из этих факторов увеличивает коэффициент усиления (см. рис. 3, 1, 2, 5, 6). В то же время изменение степени расширения сопла от 28,6 до 49 не сказалось на величине α (см. рис. 3, 3, 4). Небольшое отличие данных для сравниваемых сопел вызвано некоторой разницей значений h^* . Следовательно, при температурах торможения 1600 К (и очевидно, несколько выше — об этом свидетельствует ха-

рактер зависимости $\alpha(T)$ на рис. 3, 3, 4) величина $A/A^* \approx 30$ вполне достаточна для эффективной работы ГДЛ на продуктах горения топлив типа керосина. Дополнительное расширение, не изменяя инверсных свойств потока, лишь увеличивает потребное давление.

Обобщение опытных данных. Коэффициент усиления слабого сигнала зависит от большого числа параметров: температуры и давления торможения, состава смеси, величины h^* , θ_n , A/A^* и формы контура сверхзвуковой части сопла (при больших p_Φ , характерных для современных ГДЛ, течение до критического сечения близко к равновесному и профиль дозвуковой части не оказывает существенного влияния на инверсные свойства среды). В случае ГДЛ на горении температура

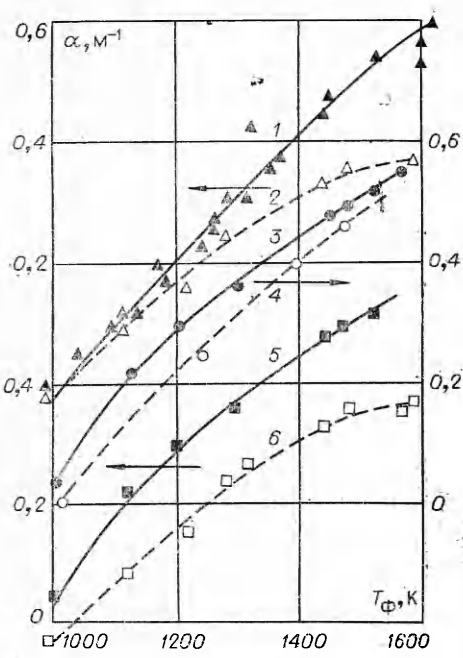


Рис. 3. Влияние Θ_n , A/A^* , h^* на коэффициент усиления; $p_\phi = 21$ атм.
 1 — $\Theta_n = 42^\circ$ (сопло I); 2 — $\Theta_n = 25^\circ$ (сопло II);
 3 — $A/A^* = 28,6^\circ$ (сопло V); 4 — $A/A^* = 52,5^\circ$ (сопло III);
 5 — $h^* = 0,35$ мм (сопло V); 6 — $h^* = 0,7$ мм (сопло II).

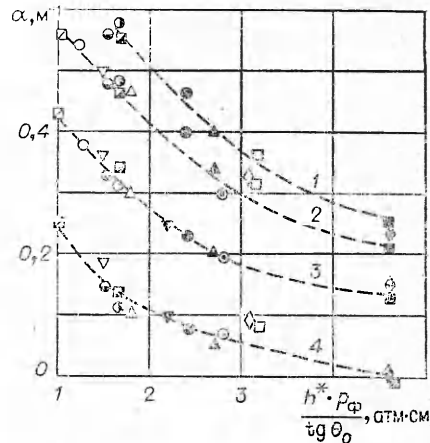


Рис. 4. Обобщение опытных данных (обозначение точек см. на рис. 2).
 $T, K: 1 — 1600, 2 — 1500, 3 — 1300, 4 — 1100.$

продуктов сгорания однозначно определяет состав смеси (для определенного топлива) и, следовательно, число независимых переменных уменьшается. Тем не менее оно все еще слишком велико, и это обстоятельство делает экспериментальный поиск оптимальных условий работы ГДЛ весьма трудоемким.

В [1] отмечалось подобие тече-

ния колебательно релаксирующей смеси данного состава в соплах при одинаковых значениях T_f и параметра $\lambda = p_\phi \cdot l$ и одинаковой зависимости степени расширения потока A/A^* от продольной координаты x/l . В случае одномерного движения в плоских клиновидных соплах при $T_f = idem$ и одинаковом составе коэффициент усиления зависит только от параметров $\lambda = p_\phi \cdot h^*/\tg \theta_n$ и A/A^* (контуры спектральной линии предполагается ударным).

Полученные в работе экспериментальные данные позволяют проверить возможность обобщения с помощью указанного параметра. Такая обработка представлена на рис. 4. Напомним, что коэффициенты усиления измерялись на оси канала вблизи выходного сечения. Штриховые линии проведены по точкам, соответствующим постоянной T_f . Обозначение точек такое же, что и на рис. 2. Видно, что данные, полученные в опытах с соплами различных размеров и формами сверхзвуковой части, хорошо обобщаются. Таким образом, требование одинаковой зависимости A/A^* от x/l , которое необходимо для строгого выполнения подобия, не является жестким в области исследованных параметров.

На рис. 4 нанесены точки, соответствующие различным значениям A/A^* . Для максимальных температур, имевших место в данных опытах, величина $A/A^* \approx 30$ вполне достаточна для эффективной работы лазера и дальнейшее увеличение A/A^* не приводит к росту α . Более того, при относительно низких температурах точка, соответствующая $A/A^* = 14,3$, также ложится на общую линию, что свидетельствует о достаточно охлаждении газа в выходном сечении сопла. Несомненно, при увеличении T_f следует ожидать расслоения данных по параметру A/A^* .

Возможность обобщения с помощью параметра $p_\phi \cdot h^*/\tg \theta_n$ коэффициентов усиления для сопел с различным характером изменения

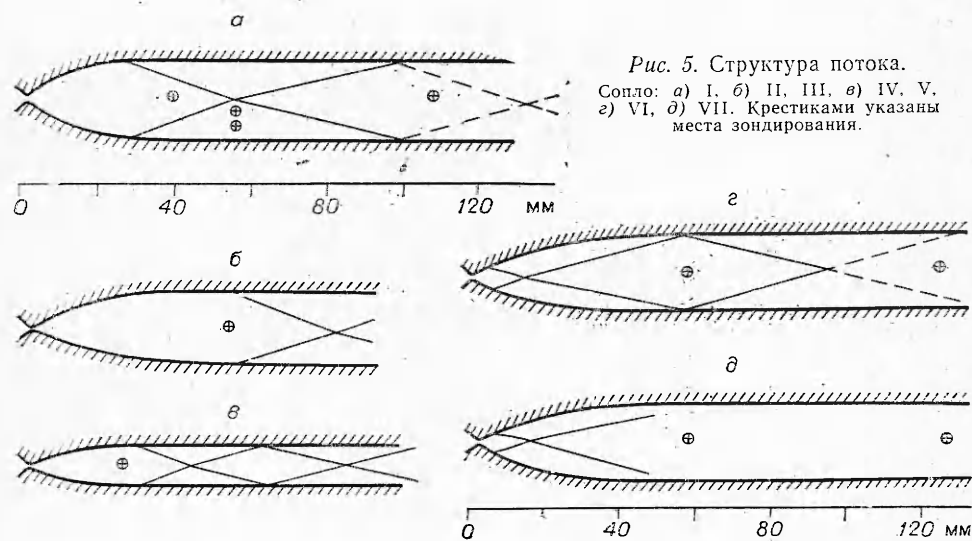


Рис. 5. Структура потока.
Сопло: а) I, б) II, III, в) IV, V,
г) VI, д) VII. Крестиками указаны
места зондирования.

$A/A^*(x/l)$, по всей видимости, связана с быстрым замораживанием колебательной энергии верхнего лазерного уровня вблизи критического сечения в области, где течение с достаточной степенью точности можно считать аналогичным течению в плоском клиновидном сопле. Причем, очевидно, текущее значение угла θ здесь не слишком сильно отличается от начального значения θ_n .

Влияние реальной структуры потока на коэффициент усиления. Как следует из рис. 4, форма контура сверхзвуковой части непосредственно не влияет на результаты измерений на осевой линии вблизи выходного сечения сопла. Однако именно сверхзвуковой профиль формирует течение в резонаторной полости и от степени однородности потока ниже выходного сечения сопла зависит характер изменения коэффициентов усиления в этой области. С целью изучения влияния реальной структуры потока на инверсные свойства среды ГДЛ предварительно проведены подробные аэродинамические измерения, которые затем сопоставлены с закономерностями изменения $\alpha(x, y)$. Большинство опытов проведено на холодном воздухе, для чего использовалась специальная рабочая часть со сменимыми соплами, аналогичными устанавливавшимися в тракте ГДЛ. Часть полученных результатов содержится в [19]. Подробно исследования аэродинамики сопел ГДЛ будут изложены в отдельной статье. Ниже рассмотрены только основные особенности течения.

На рис. 5 показана структура потока в соплах и канале постоянного сечения, полученная на основе теневых фотографий. Картина течения для сопел II и III, а также IV и V соответственно была полностью идентичной. Во всех исследованных соплах наблюдалась более или менее выраженная система скачков уплотнения. В радиусных соплах скачки отходят от профилированных стенок вблизи выходного сечения сопла и формируют в канале ромбовидную структуру. С уменьшением θ_n их интенсивность ослабевает. Скачки уплотнения возникают также и в соплах, профилированных методом характеристик (рис. 5, г, д), но здесь они отходят от стенок вблизи критического сечения и первый раз пересекаются на оси на расстоянии $x \approx 13$ мм. В сопле со скругленной кромкой скачки после пересечения ослабевают и почти не видны на теневой фотографии.

Из результатов измерения давления на стенках и в потоке отметим, что на выходе из сопла VII и несколько ниже по потоку профили давления практически однородны, в опытах с соплом VI неоднородность не очень велика. Скачки уплотнения в сопле I оказывают наиболее

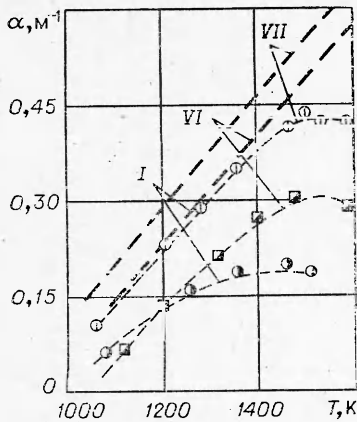


Рис. 6. Изменение коэффициентов усиления по длине канала; кривые — $l=0$, точки — $l=75$ мм, $p_{\Phi}=21$ атм.

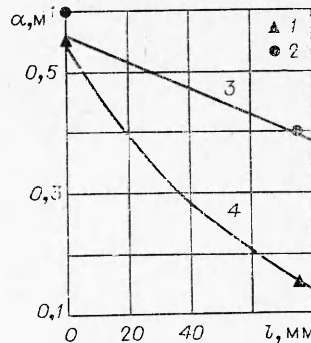


Рис. 7. Сопоставление эксперимента (точки) с результатами одномерного и двумерного расчетов (кривые); $T_{\Phi}=1550$ К, $p_{\Phi}=21$ атм.
1 — сопло I; 2 — сопло VII; 3 — одномерный расчет; 4 — двумерный расчет (сопло I).

сильное воздействие на поток. Во всех случаях число Маха, определенное по показаниям насадков полного и статического давлений, оказалось ниже расчетных, вычисленных по величине A/A^* . Так, на оси канала в выходном сечении сопла I $M \approx 4,2$, а VI и VII — $M \approx 4,6$, тогда как расчетное значение числа Маха $M_p = 5,17$.

Для сопел I, VI, VII, различающихся только контуром сверхзвуковой части (h^* и A/A^* одинаковы — см. табл. 2), измерены коэффициенты усиления на оси канала вблизи выходного сечения ($l=0$) и на расстоянии $l=75$ мм. Положение мест зондирования показано на рис. 5. Зависимости $\alpha(T_{\Phi})$ в этих опытах приведены на рис. 6. Чтобы не загромождать график, точки для сечения $l=0$ не нанесены. Значения коэффициентов усиления в опытах с соплами I и VI в этом сечении практически совпали. В сечении $l=75$ мм зависимости $\alpha(T_{\Phi})$ значительно различаются. В экспериментах с соплом VII затухание коэффициентов усиления по длине слабое, а в радиусном сопле — наиболее сильное. Как отмечалось выше, в этом сопле скачки уплотнения оказывают сильное воздействие на параметры потока. Характерно, что в сечении $l=75$ мм максимальные значения α достигаются при меньших температурах, чем в сечении $l=0$, причем низшее значение T_{\max} наблюдается для сопла I. Скачки уплотнения вызывают повышение температуры потока, в результате чего сильнее заселяется нижний и быстрее дезактивируется верхний лазерный уровень и уровень $v=1$ азота.

В связи с результатами, показанными на рис. 6, укажем на два обстоятельства. Ранее в работах [8, 20] также получены теневые фотографии течения в канале за профилированными соплами минимальной длины. Из них следовало, что в потоке имеются ударные волны. Однако соответствующих аэродинамических измерений проведено не было и степень влияния скачковой структуры на полученные результаты оставалась невыясненной. Второе замечание связано с ролью скругления осткой кромки. В работе [21] путем численного расчета в одномерной постановке показано, что подобное скругление приводит к небольшому уменьшению коэффициентов усиления на выходе из сопла. (Там же отмечалась большая технологичность таких сопел.) В настоящем исследовании скругление кромки привело к небольшому росту значений α в выходном сечении. Очевидно, это связано с изменением характера течения вблизи горла, не учитываемом в одномерной постановке.

Возможность использования одномерных и двумерных расчетов для определения коэффициентов усиления в различных условиях иллюстри-

рует рис. 7. Экспериментальные данные для сопел I и VII близки в сечении $l = 0$ и значительно различаются в сечении $l = 75$ мм. Одномерный расчет хорошо описывает изменение $\alpha(l)$ в случае сопла VII, где, как отмечалось, параметры потока весьма однородны. Естественно, что в рамках одномерной модели невозможно учесть влияние скачковой структуры на инверсные свойства потока, и различие одномерного расчета от эксперимента для сопла I в сечении $l = 75$ мм очень велико. В то же время двумерный расчет [19], выделяющий в потоке ударные волны, хорошо учитывает реальную структуру потока и правильно отражает ход зависимости $\alpha(l)$ для сопла I, где интенсивность скачков уплотнения наиболее высока.

В заключение кратко сформулируем основные результаты работы.

Теоретически и экспериментально изучена зависимость коэффициентов усиления от большинства параметров, определяющих работу ГДЛ. Исследовано 5 топлив и 8 сопел различной геометрии. Опыты проведены в диапазоне температур 1000—1700 К при давлении 13—35 атм.

Показана перспективность использования обычных жидкых углеводородных топлив в мощных ГДЛ непрерывного действия.

Обсуждено влияние отдельных факторов на коэффициент усиления и показана возможность обобщения опытных данных с помощью параметра $rh^*/\tg \theta_n$.

Подробно изучена аэродинамика применявшихся сопел и получены данные о влиянии реальной структуры потока на инверсные свойства среды. Отмечено увеличение коэффициентов усиления при скруглении острой кромки сопла. При интерпретации результатов измерения коэффициентов усиления в газодинамических лазерах необходим более полный учет информации о реальной аэродинамике сопел.

Проведенное в широком диапазоне параметров сравнение одномерных расчетов с экспериментом показало, что одномерная методика удовлетворительно описывает опытные данные на оси выходного сечения сопла. Двумерный расчет дает соответствующую опытам структуру потока и верно учитывает ее влияние на коэффициент усиления.

Поступила в редакцию
7/VI 1979

ЛИТЕРАТУРА

1. С. А. Лосев. Газодинамические лазеры. М., «Наука», 1977.
2. E. T. Gerry. IEEE Spectrum, 1970, 7, p. 51; AIAA — Paper, No 7I—23.
3. J. D. Anderson. Acta Astronautica, 1975, 2, 11/12, 911.
4. R. C. Saunders III, L. S. Otten III.—In: Gasdynamic and Chemical Lasers. Proceeding of the International Symposium, 11—15 October, Köln, DFLR — Press, Köln — Porz, Germany.
5. B. G. Pally, C. T. Zovko. AIAA Paper, No 73—1233.
6. Брун, Милевский и др. РТК, 1976, 14, 3.
7. M. J. Bupp, R. G. Dupp. J. Aircraft, 1975, 12, 12.
8. Р. Дж. Хилл, Н. Т. Джузелл и др. РТК, 1978, 12, 3.
9. М. Г. Кталхерман, В. М. Мальков и др. Квантовая электроника, 1977, 4, 1.
10. М. Г. Кталхерман, В. М. Мальков и др. ФГВ, 1977, 13, 6.
11. М. Г. Кталхерман, В. М. Мальков и др. ФГВ, 1976, 12, 4.
12. А. С. Бирюков. Тр. ФИАН, т. 83. М., «Наука», 1975.
13. В. П. Верховский. Тр. ЦАГИ, вып. 1860, 1975.
14. У. Г. Пирумов.—В сб.: Некоторые применения метода сеток в газовой динамике. Вып. 6, Изд-во МГУ, 1974.
15. В. Ф. Колмогоров. Изв. АН СССР, МЖГ, 1974, 2.
16. Ю. А. Кулагин. Тр. ФИАН, т. 107. М., «Наука», 1979.

17. Н. Я. Василик, В. М. Шмелев, А. Д. Марголин. Квантовая электроника, 1976, 3, 10.
 18. Г. И. Петров.— В сб.: Газодинамические лазеры и лазерная фотохимия. М., Изд-во МГУ, 1978.
 19. М. Г. Кталхерман, В. А. Левин и др. ФГВ, 1979, 14, 1.
 20. R. A. Meinzger. AIAA Paper, No 71—25.
 21. J. D. Anderson. AIAA Paper, No 72—143.
 22. B. A. Левин, Ю. В. Туник. Отчет НИИ механики МГУ, № 1805.
 23. R. L. Taylor, S. Bitterman. Rev. Modern Phys., 1969, 41, 1.
-

СПЕКТРЫ РАЗРЕЖЕННЫХ ПЛАМЕН УГЛЕВОДОРОДОВ С МОЛЕКУЛЯРНЫМ И АТОМАРНЫМ ФТОРОМ

Н. Г. Федотов, В. А. Надточенко, О. М. Саркисов, В. И. Веденеев
(Москва)

Исследования [1] показали, что свечение разреженных пламен фтора с метаном обусловлено в основном излучением электронно-возбужденных бирадикалов CHF. Квантовый выход этого излучения определен в [2] как отношение числа излученных фотонов к числу прореагировавших молекул метана, и в условиях значительного избытка фтора он составляет 10^{-3} — 10^{-4} . Примесь излучения частиц C_2 и CH, обуславливающих свечение пламен фтора с метаном и другими углеводородами при обычных условиях, в разреженных пламенах при давлении около 1 торр не достигает 1%.

Наблюдение полос CHF в условиях работы [1], близких к изотермическим, указывает на химическую природу их возбуждения. С другой стороны, результаты кинетических исследований реакций фторирования метана и его фторпроизводных [3, 4] показывают, что главной и наиболее интересной особенностью механизма этого класса реакций является возможность энергетического разветвления цепей. Это разветвление — прямое следствие исключительно высокой экзотермики реакций фторирования, оно может осуществляться либо за счет распада химически активированных молекул, либо за счет их реакций с исходными реагентами. Анализ возможных путей образования бирадикалов CHF с энергией электронно-колебательного возбуждения до 65 ккал/моль позволяет предположить, что появление таких частиц прямо или косвенно связано с процессами распада молекул, химически активированных в ходе фторирования, т. е. с процессами разветвления цепей. В данной работе проводились новые спектральные и кинетические исследования хемилюминесценции бирадикалов CHF, условий ее возникновения и связи с механизмом фторирования метана и его фторпроизводных.

Изучение кинетики проводилось с одновременной регистрацией скорости тепловыделения в системе, пропорциональной в условиях опытов скорости реакции, и интенсивности свечения электронно-возбужденных радикалов CHF. Методика измерений в системе $F_2 + CH_4$, исследованной в статических условиях, подобна примененной в [3] при изучении механизма фторирования метана при давлениях около 1 торр. Для системы $F_2 + CH_3F$ в том же диапазоне давлений применена струевая методика, что обусловлено относительно более высокой скоростью превращения реагентов в этом случае. Реактором служила кварцевая трубка длиной около 1 м и диаметром 8 мм. Скорость тепловыделения измерялась перемещением спая никром-константановой термопары внутри тонкостенного капилляра диаметром 0,5 мм, натянутого по оси трубки. Интенсивность свечения CHF измерялась фотографическим методом. Для этого применялись изоортокроматические фотопленки, чувствительные в